

図 3.4.125 春季における地衡流南北成分 (V) の東西断面分布 (50°N)

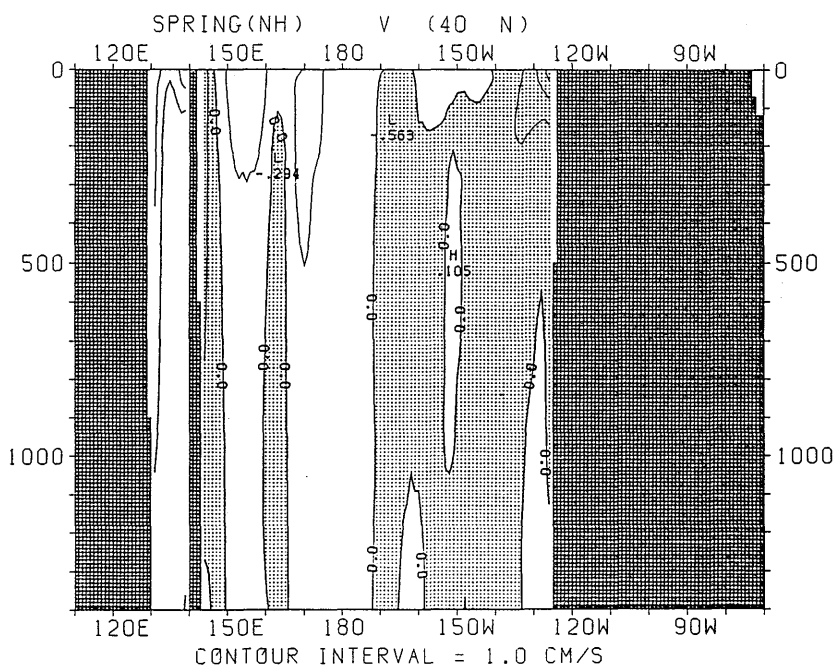


図 3.4.126 春季における地衡流南北成分 (V) の東西断面分布 (40°N)

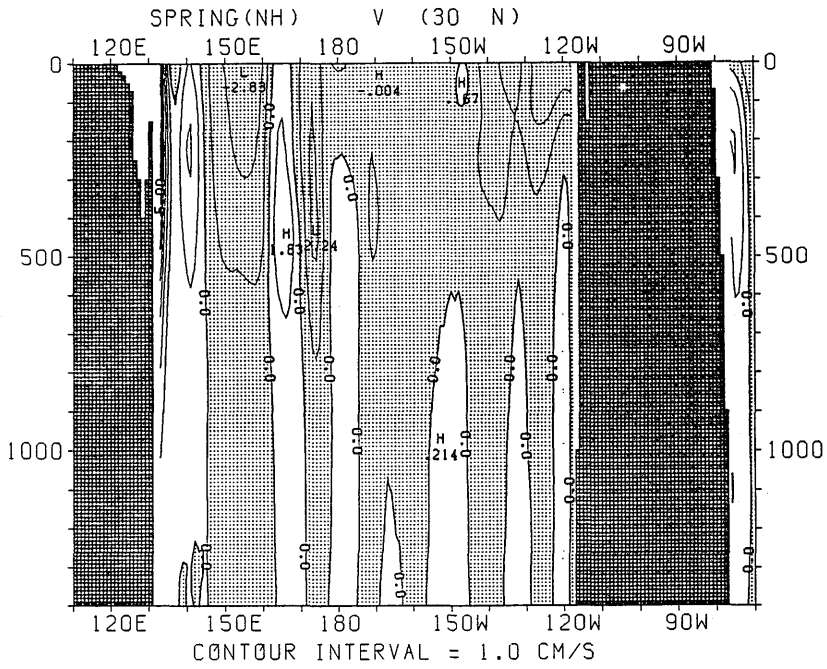


図 3.4.127 春季における地衡流南北成分 (V) の東西断面分布 (30°N)

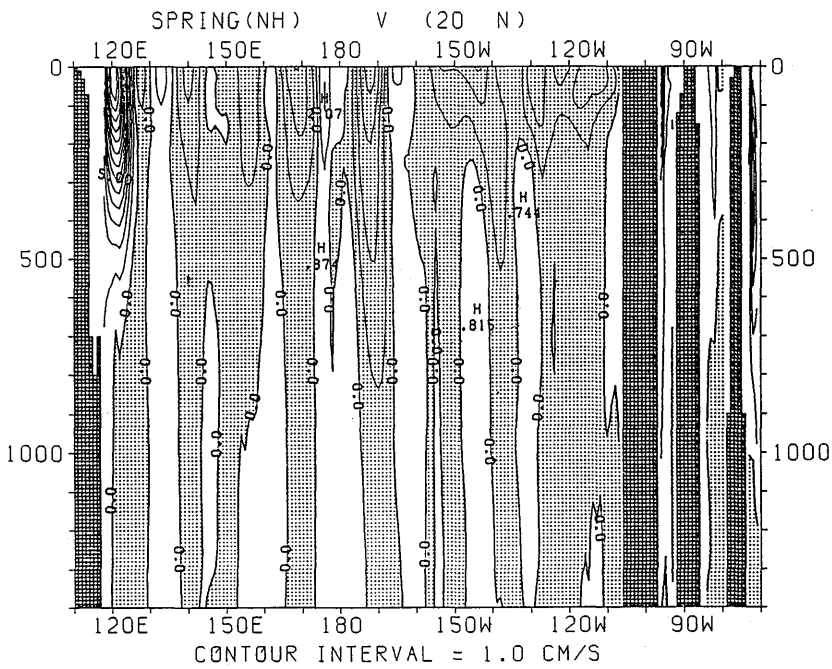


図 3.4.128 春季における地衡流南北成分 (V) の東西断面分布 (20°N)

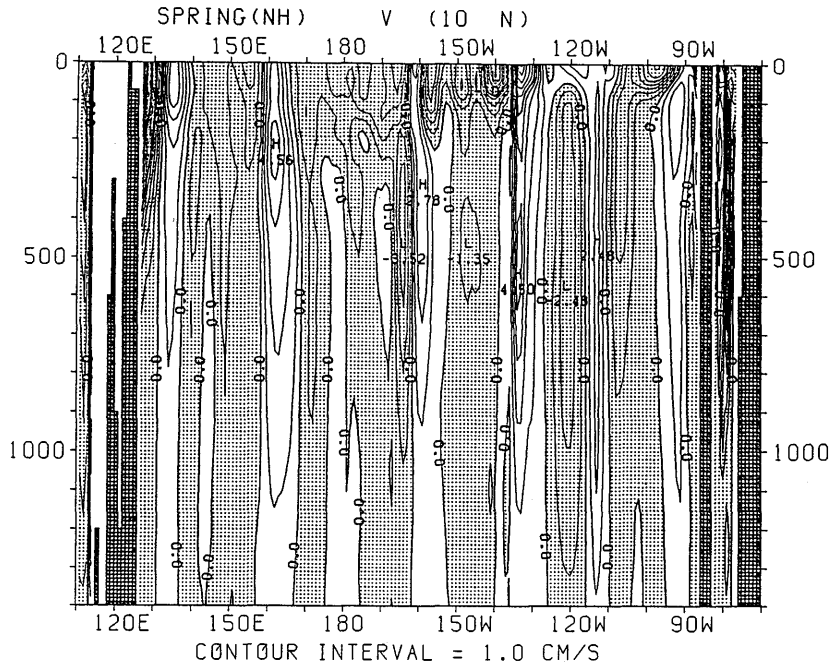


図 3.4.129 春季における地衡流南北成分 (V) の東西断面分布 (10°N)

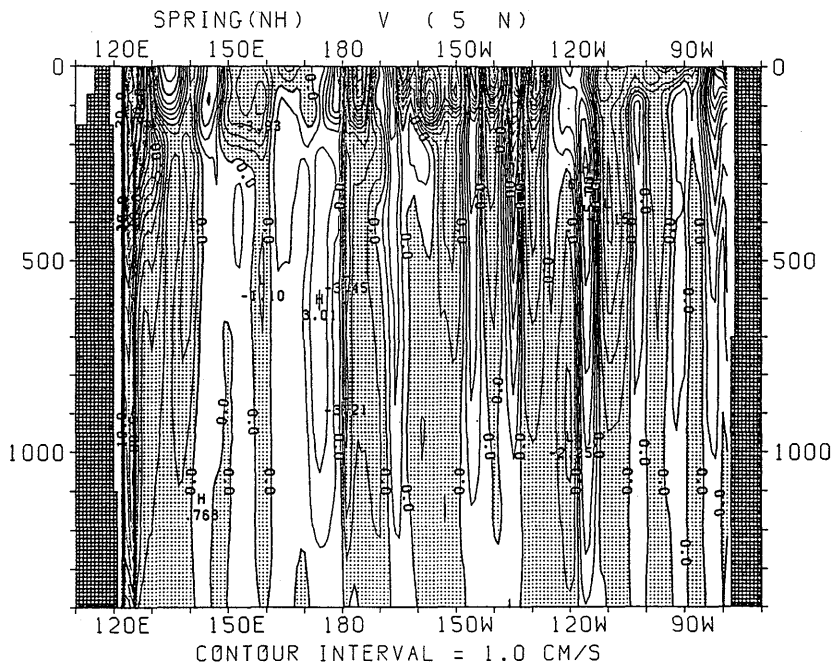


図 3.4.130 春季における地衡流南北成分 (V) の東西断面分布 (5°N)

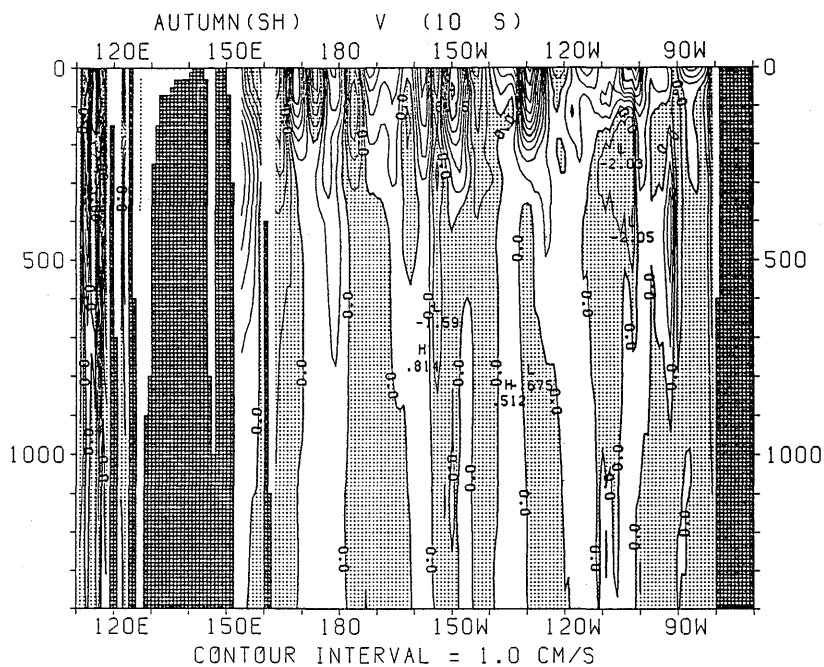


図 3.4.131 秋季（南半球）における地衡流南北成分 (V) の東西断面分布 (10°S)

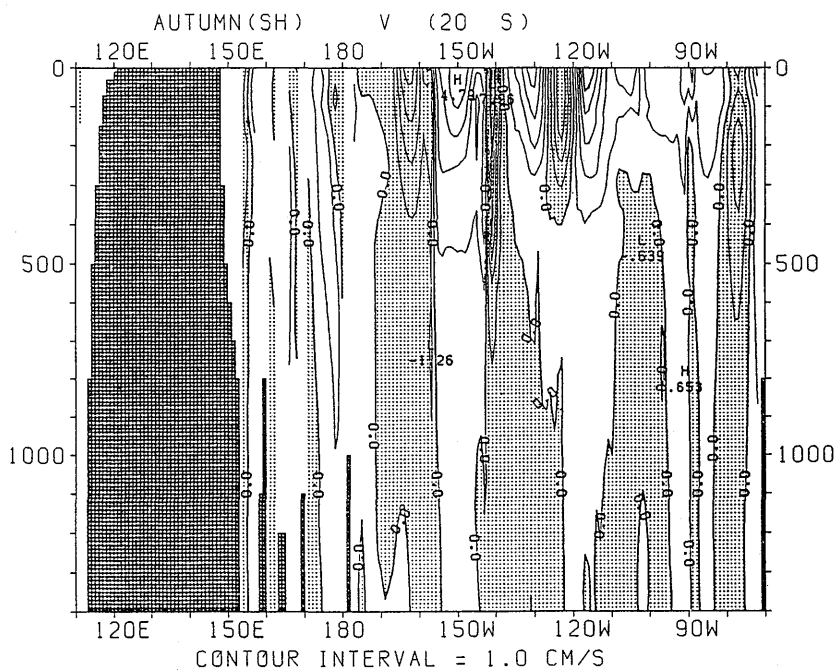


図 3.4.132 秋季（南半球）における地衡流南北成分 (V) の東西断面分布 (20°S)

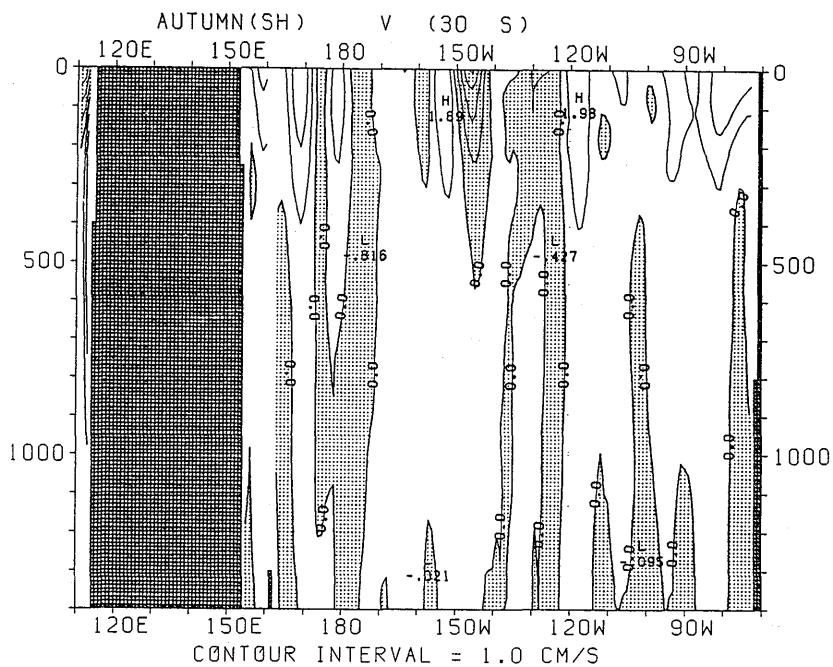


図 3.4.133 秋季 (南半球) における地衡流南北成分 (V) の東西断面分布 (30°S)

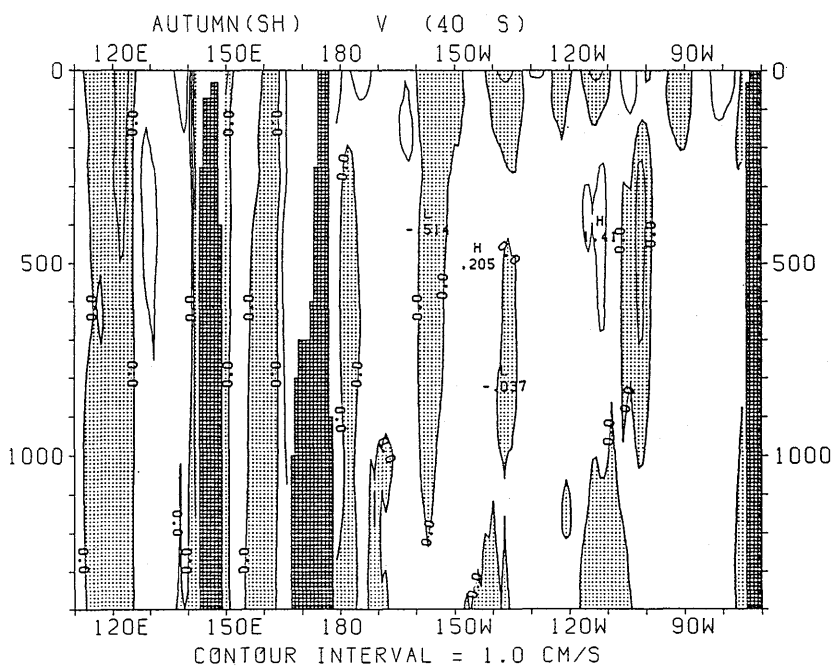


図 3.4.134 秋季 (南半球) における地衡流南北成分 (V) の東西断面分布 (40°S)

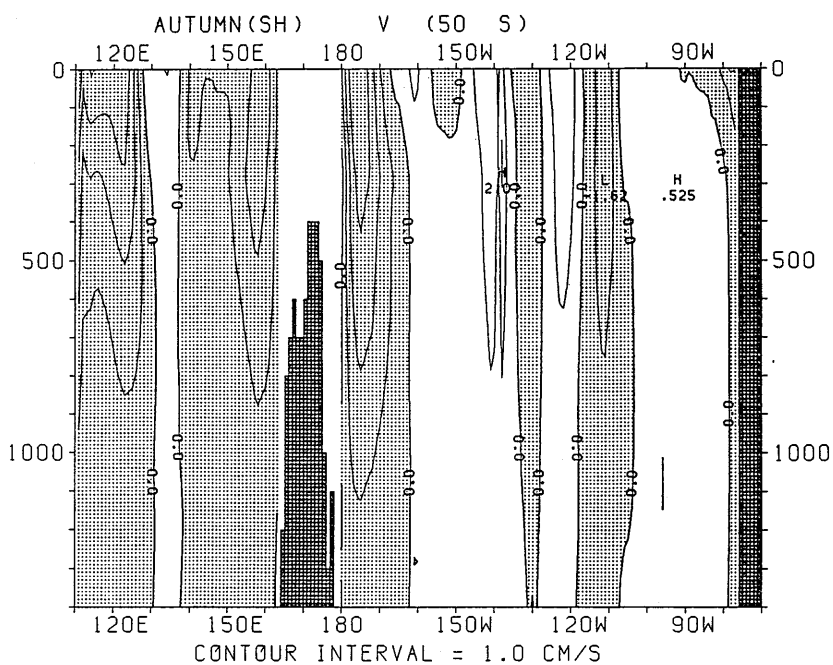


図 3.4.135 秋季（南半球）における地衡流南北成分（V）の東西断面分布（50°S）

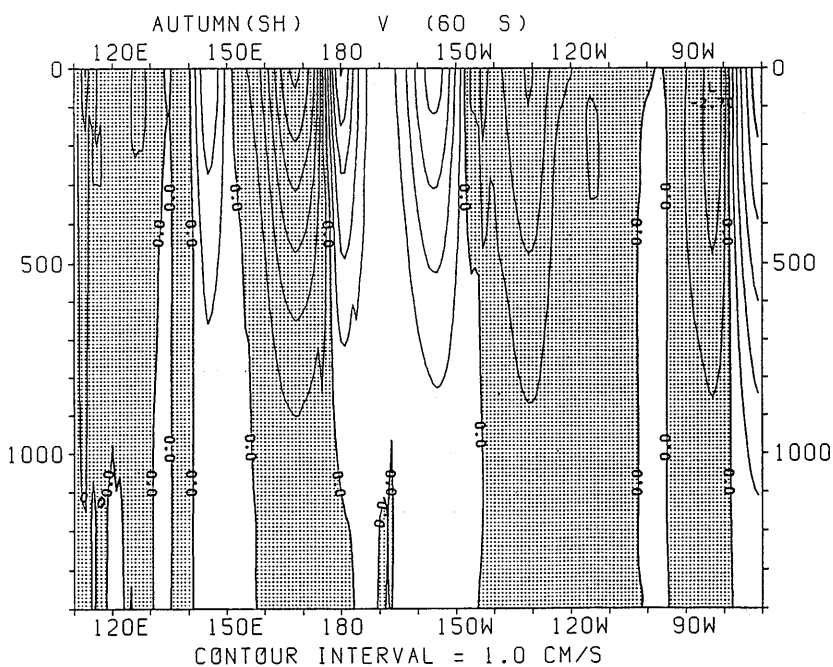


図 3.4.136 秋季（南半球）における地衡流南北成分（V）の東西断面分布（60°S）